

(19) 日本国特許庁(JP)

(12) 公開特許公報(A)

(11) 特許出願公開番号

特開2019-153837  
(P2019-153837A)

(43) 公開日 令和1年9月12日(2019.9.12)

(51) Int. Cl.

H03M 13/13 (2006.01)

F I

H03M 13/13

テーマコード(参考)

5J065

審査請求 未請求 請求項の数 5 O L (全 31 頁)

(21) 出願番号 特願2018-35547 (P2018-35547)  
(22) 出願日 平成30年2月28日 (2018. 2. 28)

(71) 出願人 504133110  
国立大学法人電気通信大学  
東京都調布市調布ケ丘一丁目5番地1  
(74) 代理人 100106909  
弁理士 棚井 澄雄  
(74) 代理人 100175824  
弁理士 小林 淳一  
(74) 代理人 100169764  
弁理士 清水 雄一郎  
(72) 発明者 小川 朋宏  
東京都調布市調布ケ丘一丁目5番地1 国立大学法人電気通信大学内  
(72) 発明者 森 雄喜  
東京都調布市調布ケ丘一丁目5番地1 国立大学法人電気通信大学内  
Fターム(参考) 5J065 AC02 AD03 AG02

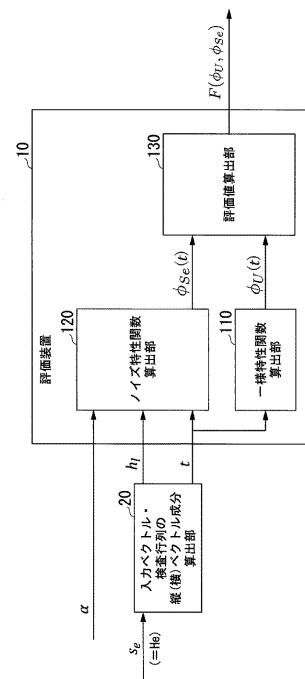
(54) 【発明の名称】 評価装置

(57) 【要約】

【課題】盗聴通信路符号化における安全性基準値の評価値を、実用的な手順により求める。

【解決手段】評価装置は、盗聴通信路符号化方式における公開パラメータである検査行列と、盗聴通信路のビット反転確率と、盗聴通信路を介して取得される盗聴者受信ビット列と検査行列とから得られる盗聴者推定メッセージに含まれる、ビット反転確率に基づくノイズを示すビット列であるノイズベクトルの確率分布を多変数離散フーリエ変換した関数の入力ベクトルと、を取得する取得部と、取得部が取得する入力ベクトルと、検査行列の縦ベクトル又は横ベクトルのいずれかのベクトル成分と、ビット反転確率とに基づいて、ノイズベクトルの確率分布の特性関数であるノイズ特性関数を算出するノイズ特性関数算出部と、ノイズ特性関数算出部が算出するノイズ特性関数と、ビット反転確率とに基づいて、検査行列の評価値をビット反転確率毎に算出する評価値算出部と、を備える。

【選択図】 図1



## 【特許請求の範囲】

## 【請求項 1】

盗聴通信路符号化方式における公開パラメータである検査行列と、盗聴通信路のビット反転確率と、前記盗聴通信路を介して取得される盗聴者受信ビット列と前記検査行列とから得られる盗聴者推定メッセージに含まれる、前記ビット反転確率に基づくノイズを示すビット列であるノイズベクトルの確率分布を多変数離散フーリエ変換した関数の入力ベクトルと、を取得する取得部と、

前記取得部が取得する前記入力ベクトルと、前記検査行列の縦ベクトル又は横ベクトルのいずれかのベクトル成分と、前記ビット反転確率とに基づいて、ノイズベクトルの確率分布の特性関数であるノイズ特性関数を算出するノイズ特性関数算出部と、

前記ノイズ特性関数算出部が算出する前記ノイズ特性関数と、前記ビット反転確率とに基づいて、前記検査行列の評価値を前記ビット反転確率毎に算出する評価値算出部と、を備える評価装置。

10

## 【請求項 2】

前記取得部が取得する前記入力ベクトルに基づいて、一様分布の特性関数である一様特性関数を算出する一様特性関数算出部

を更に備え、

前記評価値算出部は、

前記ノイズ特性関数と、前記一様特性関数算出部が算出する前記一様特性関数とのノルムを前記ビット反転確率毎に前記検査行列の評価値として算出する

20

請求項 1 に記載の評価装置。

## 【請求項 3】

前記評価値算出部は、

前記ノイズ特性関数と、前記一様特性関数との 2 ノルムを算出し、算出した 2 ノルムを 1 ノルムに変換することにより、前記評価値を算出する

請求項 2 に記載の評価装置。

## 【請求項 4】

前記ノイズ特性関数は、前記入力ベクトルと、前記検査行列の前記ベクトル成分との内積によって示され、

前記評価値算出部は、

前記内積の値に基づいて前記評価値を算出する

請求項 1 から請求項 3 のいずれか一項に記載の評価装置。

30

## 【請求項 5】

前記評価値算出部は、

複数の前記入力ベクトルのうち前記内積の値が互いに一致する前記入力ベクトルの計数値を前記評価値毎に算出する第 1 手順と、

前記第 1 手順によって算出された前記計数値を用いて、前記入力ベクトルのうち前記内積の値が法を 2 として 1 である前記入力ベクトルの総和を前記ビット反転確率毎に求める第 2 手順と、

によって前記評価値を算出する

請求項 1 から請求項 4 のいずれか一項に記載の評価装置。

40

## 【発明の詳細な説明】

## 【技術分野】

## 【0001】

本発明は、評価装置に関する。

## 【背景技術】

## 【0002】

従来、盗聴者が存在する通信路モデルにおいて、安全な通信を行うための符号化レートの限界を求める技術が開示されている（例えば、非特許文献 1 を参照）。

## 【先行技術文献】

50

## 【非特許文献】

【0003】

【非特許文献1】 Ke Zhang, Martin Tomlinson, Mohammed Zaki Ahmed, Marcel Ambroze, Miguel R.D. Rodrigues, Best binary equivocation code construction for syndrome coding, IET Commun., 2014, Vol.8, Iss. 10, pp. 1696-1704

## 【発明の概要】

## 【発明が解決しようとする課題】

【0004】

しかしながら、上記のような従来技術においては、検査行列  $H$  を整数の組により表現しているため、具体的な数値を代入して計算をする場合の整合性が取れておらず  $z$  変換に特殊な演算が必要となるという問題があった。つまり、上記のような従来技術においては、実用的な手順による演算が必ずしも行えない、という問題があった。

10

【0005】

本発明は、上記問題を解決すべくなされたもので、その目的は、盗聴通信路符号化における符号化レートの評価値を、実用的な手順により求めることができる評価装置を提供することにある。

## 【課題を解決するための手段】

【0006】

本発明の一実施形態は、盗聴通信路符号化方式における公開パラメータである検査行列と、盗聴通信路のビット反転確率と、前記盗聴通信路を介して取得される盗聴者受信ビット列と前記検査行列とから得られる盗聴者推定メッセージに含まれる、前記ビット反転確率に基づくノイズを示すビット列であるノイズベクトルの確率分布を多変数離散フーリエ変換した関数の入力ベクトルと、を取得する取得部と、前記取得部が取得する前記入力ベクトルと、前記検査行列の縦ベクトル又は横ベクトルのいずれかのベクトル成分と、前記ビット反転確率とに基づいて、ノイズベクトルの確率分布の特性関数であるノイズ特性関数を算出するノイズ特性関数算出部と、前記ノイズ特性関数算出部が算出する前記ノイズ特性関数と、前記ビット反転確率とに基づいて、前記検査行列の評価値を前記ビット反転確率毎に算出する評価値算出部と、を備える評価装置である。

20

【0007】

また、本発明の一実施形態は、上述の評価装置において、前記取得部が取得する前記入力ベクトルに基づいて、一様分布の特性関数である一様特性関数を算出する一様特性関数算出部を更に備え、前記評価値算出部は、前記ノイズ特性関数と、前記一様特性関数算出部が算出する前記一様特性関数とのノルムを前記ビット反転確率毎に前記検査行列の評価値として算出する。

30

【0008】

また、本発明の一実施形態は、上述の評価装置において、前記評価値算出部は、前記ノイズ特性関数と、前記一様特性関数との2ノルムを算出し、算出した2ノルムを1ノルムに変換することにより、前記評価値を算出する。

【0009】

また、本発明の一実施形態は、上述の評価装置において、前記ノイズ特性関数は、前記入力ベクトルと、前記検査行列の前記ベクトル成分との内積によって示され、前記評価値算出部は、前記内積の値に基づいて前記評価値を算出する。

40

【0010】

また、本発明の一実施形態は、上述の評価装置において、複数の前記入力ベクトルのうち前記内積の値が互いに一致する前記入力ベクトルの計数値を前記評価値毎に算出する第1手順と、前記第1手順によって算出された前記計数値を用いて、前記入力ベクトルのうち前記内積の値が法を2として1である前記入力ベクトルの総和を前記ビット反転確率毎に求める第2手順と、によって前記評価値を算出する。

## 【発明の効果】

【0011】

50

この発明によれば、盗聴通信路符号化における安全性基準値の評価値を、実用的な手順により求めることができる評価装置を提供することができる。

【図面の簡単な説明】

【0012】

【図1】本実施形態の評価装置の機能構成の一例を示す図である。

【図2】本実施形態の評価装置の評価値を算出する概略動作の一例を示す図である。

【図3】本実施形態のノイズ特性関数算出部によるノイズ特性関数の算出手順の一例を示す図である。

【図4】本実施形態の評価装置による評価値のプロットの一例(その1)を示す図である。

10

【図5】本実施形態の評価装置による評価値のプロットの一例(その2)を示す図である。

【図6】本実施形態の理論値付近の評価値の一例を示す図である。

【図7】本実施形態において $(n, k) = (40, 10)$ とした場合の評価値の一例を示す図である。

【図8】本実施形態において $(n, k) = (60, 30)$ とした場合の評価値の一例を示す図である。

【図9】本実施形態において $(n, k) = (400, 370)$ とした場合の評価値の実験結果の一例を示す図である。

【図10】本実施形態において $(n, k) = (400, 370)$ とした場合の評価値の実験結果の一例を示す図である。

20

【図11】本実施形態の変形例に係る評価装置の評価値を算出する概略動作の一例を示す図である。

【図12】本実施形態の変形例に係る評価装置による評価値の算出手順の一例を示す図である。

【図13】本実施形態の変形例のアルゴリズムによる評価値の実験結果の一例を示す図である。

【図14】盗聴者が存在する通信路モデルの一例を示す図である。

【図15】盗聴通信路符号化モデルの一例を示す図である。

【図16】コセット分解の概念の一例を示す図である。

30

【図17】コセット符号化の概念の一例を示す図である。

【図18】 $(n, k)$ 符号の乱数レートとビット反転確率との関係の一例を示す図である。

【図19】乱数レートと $(n, k)$ の組との関係の一例を示す図である。

【発明を実施するための形態】

【0013】

[前提事項及び実施形態の概要]

以下、本発明の実施形態を説明する前に、実施形態の前提事項及び実施形態の概要について図を参照しつつ説明する。

【0014】

40

[盗聴通信路符号化]

図14は、盗聴者が存在する通信路モデルの一例を示す図である。Wyn erは盗聴者が存在する通信路モデルにおいて安全な通信を行うことができる盗聴通信路符号化問題を考案した。図14で定義する送信者Aliceから盗聴者Eveへの通信路を盗聴通信路という。盗聴通信路符号化モデルに対する要請は次の2つである。

【0015】

$n$  という漸近的な状況において、

要請1：送信者Aliceは誤り確率  $0$  でメッセージを正規受信者Bobに伝えること。

要請2：盗聴者Eveにメッセージの情報が一切伝わらないこと。

50

【 0 0 1 6 】

上記の要請を同時に満たす符号の符号化レートの限界を考えるのが盗聴通信路符号化問題であり、そのレートを盗聴通信路容量と呼ぶ。要請 2 に対する安全性の基準として、次の式 ( 1 ) ~ 式 ( 3 ) の 3 つを考える。

【 0 0 1 7 】

【 数 1 】

$$\frac{1}{n} J(S; Z^n) \xrightarrow{n \rightarrow \infty} 0 \quad \dots (1)$$

【 0 0 1 8 】

【 数 2 】

$$J(S; Z^n) \xrightarrow{n \rightarrow \infty} 0 \quad \dots (2)$$

【 0 0 1 9 】

【 数 3 】

$$\frac{1}{\#M(\#M-1)} \sum_{i=0}^{\#M-1} \sum_{j \neq i, j=0}^{\#M-1} \|P_{Z_i^n} - P_{Z_j^n}\|_1 \xrightarrow{n \rightarrow \infty} 0 \quad \dots (3)$$

【 0 0 2 0 】

ただし、式 ( 3 ) の  $P_{Z_i^n}$ 、 $P_{Z_j^n}$  ( $n$  は  $z$  の右上の添字。  $i$ 、 $j$  は  $z$  の右下の添字。) は  $i$  番目、 $j$  番目のメッセージを入力した時の通信に関する確率分布である。式 ( 2 ) が示す基準 2 は式 ( 1 ) が示す基準 1 よりも強い基準なので、基準 2 を満たせば、基準 1 は自然と成り立つ。このことから基準 1 を弱安全性、基準 2 を強安全性と呼ぶ。基準 1 および基準 2 は、 $n$  の時、漸近的に  $S$  と  $Z^n$  が独立であることを意味している。基準 3 は異なるメッセージを入力した時の出力分布の差に関する 1 - norm (いち・ノルム) の平均値である。盗聴者 Eve が通信路出力を観測しても、確率分布がメッセージに依存していないため、メッセージについての情報が全く得られなくなる。正規受信者 Bob への通信路よりも盗聴者 Eve への通信路の方にノイズが多く含まれる時に、以下の盗聴通信路符号化定理が成立する。

30

【 0 0 2 1 】

[ 盗聴通信路符号化定理 ]

上述した 2 つの要請 ( 要請 1 及び要請 2 ) が達成可能な符号化レートの上限である盗聴通信路容量 (  $T(W, V)$  ) は、正規受信者 Bob の通信路 ( 正規通信路 B ) を  $W$ 、盗聴者 Eve の通信路 ( 盗聴通信路 E ) を  $V$  としたとき、次の式 ( 4 ) を満たす。

40

【 0 0 2 2 】

【 数 4 】

$$T(W, V) \geq \max_{P_X} \{J(X; Y) - J(X; Z)\} \quad \dots (4)$$

【 0 0 2 3 】

二元対称通信路 B S C (Binary Symmetric Channel) のビット反転確率がビット反転確率である場合を、二元対称通信路 B S C と記載する。正規通信路 B がノイズレスで盗聴通信路 E が二元対称通信路 B S C の場合、式 ( 4 ) の不等号で等号が成立し、盗聴通信路容量は、次の式 ( 5 ) で与えられることが知られている。

50

【 0 0 2 4 】

【数 5】

$$T(W, V) = 1 - (1 - h(\alpha)) = h(\alpha) \quad \dots (5)$$

【 0 0 2 5 】

[ 盗聴通信路符号化モデル ]

図 1 5 は、盗聴通信路符号化モデルの一例を示す図である。図 1 5 に示す盗聴通信路符号化モデルは、図 1 4 に示した正規通信路 B にノイズレス通信路を、盗聴通信路 E に二元対称通信路 B S C を用いたものである。以降、盗聴通信路符号化モデルとして図 1 5 に示す盗聴通信路符号化モデルを用いることとする。なお、上述した基準 2 を安全性の指標として考える。盗聴通信路符号化の要請について、要請 1 に関しては送信者 A l i c e から正規受信者 B o b への通信路にノイズレス通信路を用いている。要請 2 に関しては、式 ( 6 ) を満たすべき条件として考えることにする。

10

【 0 0 2 6 】

【数 6】

$$J(S; S') \xrightarrow{n \rightarrow \infty} 0 \quad \dots (6)$$

【 0 0 2 7 】

[ 線形符号 ]

長さ  $k$  のベクトルが長さ  $n$  のベクトルに変換される場合、線形符号  $C$  を  $(n, k)$  線形符号または  $(n, k)$  符号と呼ぶ。以下、 $m := n - k$  として議論する。成分が  $F_2$  の元の  $m \times n$  行列  $H$  を考える。ここで、 $H$  は行ベクトルがすべて一次独立すなわち行フルランクであると仮定する。この行列  $H$  により、線形符号  $C$  は式 ( 7 ) のように指定される。

20

【 0 0 2 8 】

【数 7】

$$\begin{aligned} C &= \{x \in \mathbb{F}_2^n \mid Hx = \mathbf{0}\} \\ &= \text{Ker } H \end{aligned} \quad \dots (7)$$

【 0 0 2 9 】

この線形符号  $C$  を指定する行列  $H$  を検査行列と呼ぶ。検査行列  $H$  による指定方法は同次連立一次方程式の解空間として線形符号  $C$  を指定している。一方、検査行列  $H$  が行フルランクであると仮定したことから式 ( 8 ) が成り立つ。

【 0 0 3 0 】

【数 8】

$$\dim \text{Im } H = \text{rank } H = m. \quad \dots (8)$$

【 0 0 3 1 】

次元定理より、式 ( 9 ) であるから、

【 0 0 3 2 】

【数 9】

$$\dim \text{Im } H + \dim \text{Ker } H = n \quad \dots (9)$$

【 0 0 3 3 】

次の式 ( 1 0 ) となり、生成行列による場合と同じ次元の符号を与えている。

【 0 0 3 4 】

50

【数 1 0】

$$\begin{aligned}
 \dim \text{Ker } H &= n - \dim \text{Im } H \\
 &= n - m \\
 &= n - (n - k) \\
 &= k
 \end{aligned} \quad \dots (10)$$

【0 0 3 5】

[コセット]

10

次に、図 1 6 を参照してコセットについて説明する。

図 1 6 は、コセット分解の概念の一例を示す図である。式 ( 1 1 ) に示すように、任意のシンδροーム  $s = (s_0, \dots, s_{m-1}) \in \mathbb{F}_2^m$  に対応する検査行列  $H : \mathbb{F}_2^n \rightarrow \mathbb{F}_2^m$  の逆像を、シンδροーム  $s$  に対応するコセットと呼ぶ。

【0 0 3 6】

【数 1 1】

$$C_s := \{x \in \mathbb{F}_2^n \mid Hx = s\} \quad \dots (11)$$

【0 0 3 7】

[コセット符号化]

20

図 1 7 は、コセット符号化の概念の一例を示す図である。コセット符号化では、メッセージを送信者のシンδροームと同一視する。メッセージとコセットを一対一に対応させることで、確率的符号器の一つであるコセット符号を構成することができる。任意のメッセージ  $s \in M$  ( $\#M = 2^m$ ) (すなわち、 $m$  ビットのビット列) を送信するとき、あらかじめ対応付けられているコセットの要素から一様乱数  $u \in U$  ( $\#U = 2^k$ ) (すなわち、 $k$  ビットのビット列) を用いて符号語  $x$  を決定し、通信路に投入する。この時、メッセージレート  $R_s$  と乱数レート  $R_u$  は以下で与えられる。

【0 0 3 8】

【数 1 2】

30

$$R_s = \frac{\log_2 2^m}{n} = \frac{m}{n} = \frac{n - k}{n} = 1 - \frac{k}{n} \quad \dots (12)$$

【0 0 3 9】

【数 1 3】

$$R_u = \frac{\log_2 2^k}{n} = \frac{k}{n} \quad \dots (13)$$

【0 0 4 0】

[コセット符号化による盗聴通信路符号化の実現]

図 1 5 に示した盗聴通信路符号化モデルを用いた、コセット符号化による盗聴通信路符号化の実現について説明する。

送信者 Alice、正規受信者 Bob 間の通信環境と送信者 Alice、盗聴者 Eve 間の通信環境において、前者の通信品質が上回っている状況を仮定する。例として無線 LAN がある部屋の中と外、衛星通信の見通し範囲とその外側が挙げられる。このような状況で通信品質の差を利用することで、送信者 Alice と正規受信者 Bob との間で安全な通信を行うことができる。

簡単のため、送信者 Alice から正規受信者 Bob への通信路はノイズレス通信路で

50

あると仮定する。また、送信者 Alice から盗聴者 Eve への通信路は二元対称通信路 BSC であると仮定する。

【0041】

以降で用いる検査行列  $H$  の形について説明する。上述した  $(n, k)$  符号を考え、 $m := n - k$  とする。

【0042】

【数14】

$$\mathbf{h}_l \in \mathbb{F}_2^m (l = 0, \dots, n-1) \quad \dots (14)$$

【0043】

検査行列  $H$  の縦ベクトル表示を、式 (14) を用いて式 (15) の形で書く。

【0044】

【数15】

$$H = [\mathbf{h}_0, \dots, \mathbf{h}_l, \dots, \mathbf{h}_{n-1}] \quad \dots (15)$$

【0045】

コセット符号化における盗聴通信路符号化を実現できるような  $(n, k)$  符号の探索が試みられている。

20

【0046】

1 : 検査行列  $H$  を一つ固定して公開パラメータとする。

2 : 送信者 Alice のフェーズ :

メッセージに対応するシンドローム  $s$  を生成する。

コセット符号化により  $Hx = s$  を満たす  $x$  を求め、正規受信者 Bob に送信する。

3 : 正規受信者 Bob のフェーズ :

送信者 Alice から、 $x_r = x$  を受け取ることで、 $s = Hx_r$  を計算する。

4 : 盗聴者 Eve のフェーズ :

二元対称通信路 BSC による誤りベクトルを  $e$  として  $x_e = x + e$  を受け取ること

で、 $s = Hx_e$  を計算する。

30

【0047】

ただし、送信者 Alice のメッセージに関する確率変数  $S$  と盗聴者 Eve の持つ情報に関する確率変数  $S'$  について、相関の指標を表す情報量である相互情報量を用いることで、上述した式 (6) を安全性の定義として用いる。

【0048】

[エンコーダとデコーダについて]

メッセージのエンコーダとデコーダの方法を与え、安全性評価をエントロピーを用いて行う技術が提示されている。

$H = (I, H_2)$  と指定する。送信者 Alice は、 $Hx = s$  を満たす  $x \in \mathbb{F}_2^n$  を以下の3ステップで生成する。

40

【0049】

1 : 送信者 Alice は一様ランダムに決まる  $a \in \mathbb{F}_2^k$  と  $n \times k$  の生成行列  $G$  を用いて、符号語  $x_1 \in \mathbb{F}_2^n$  を以下のように定める。

【0050】

【数16】

$$\mathbf{x}_1 := Ga \quad \dots (16)$$

【0051】

2 : 送信者 Alice は、 $x_2 \in \mathbb{F}_2^n$  をメッセージ  $s \in \mathbb{F}_2^m$  を用いて以下のように

50



生成する。

【 0 0 5 2 】

【 数 1 7 】

$$\mathbf{x}_2 := (\mathbf{s}^T, 0, \dots, 0)^T \quad \dots (17)$$

【 0 0 5 3 】

3 : 送信者 Alice は、式 ( 1 6 ) 及び式 ( 1 7 ) を用いて  $\mathbf{x} \in \mathbb{F}_2^n$  を以下のように生成する。

【 0 0 5 4 】

【 数 1 8 】

$$\mathbf{x} := \mathbf{x}_1 + \mathbf{x}_2 \quad \dots (18)$$

【 0 0 5 5 】

このようにして、送信者 Alice は、

【 0 0 5 6 】

【 数 1 9 】

$$H\mathbf{x} = \mathbf{s} \quad \dots (19)$$

【 0 0 5 7 】

を満たす  $\mathbf{x}$  を生成できる。

正規受信者 Bob は、受信したベクトルのシンδροームを式 ( 2 0 ) で計算する。送信者 Alice から正規受信者 Bob への通信路は、ノイズレスであることから  $\mathbf{x}_r = \mathbf{x}$  である。よって、正規受信者 Bob は、式 ( 2 0 ) に示すようにデコードできる。

【 0 0 5 8 】

【 数 2 0 】

$$\mathbf{s} = H\mathbf{x}_r \quad \dots (20)$$

【 0 0 5 9 】

一方、盗聴者 Eve は、式 ( 2 1 ) に示すベクトル

【 0 0 6 0 】

【 数 2 1 】

$$\mathbf{x}_e = \mathbf{x} + \mathbf{e} \quad \dots (21)$$

を受信し、式 ( 2 2 ) を計算することが想定される。

【 0 0 6 1 】

【 数 2 2 】

$$\mathbf{s}' = H\mathbf{x}_e = H(\mathbf{x} + \mathbf{e}) = H\mathbf{x} + H\mathbf{e} = \mathbf{s} + \mathbf{s}_e \quad \dots (22)$$

【 0 0 6 2 】

よって、盗聴者 Eve は、式 ( 2 3 ) に示すように

【 0 0 6 3 】

【 数 2 3 】

$$\mathbf{s}' = \mathbf{s} + \mathbf{s}_e \quad \dots (23)$$

【 0 0 6 4 】

としてメッセージを推測すると考えられる。メッセージに関する確率変数が一様分布に従うという仮定をしてよい理由は、一様分布が扱いやすいという理由の他、送信者 Alice がどのメッセージを選択しても、同様の安全性を持つ符号を構成したいからである。

もし、メッセージの分布に偏りがあると盗聴者 Eve に頻繁に使われるメッセージの情報を推測され頻度攻撃の標的にされるおそれがある。

【 0 0 6 5 】

[ 特性関数を用いた安全性評価 ]

確率変数  $S$ 、 $S_e$  が独立で  $S$  が一様分布に従う時、確率変数  $S + S_e$  も一様分布に従う。式 ( 2 4 ) を満たすとき、式 ( 2 5 ) に示す  $S_e$  は確率変数である。

【 0 0 6 6 】

【数 2 4】

$$e \stackrel{i.i.d}{\sim} (\alpha, 1 - \alpha) \quad \dots (24)$$

【 0 0 6 7 】

【数 2 5】

$$s_e = He \quad \dots (25)$$

【 0 0 6 8 】

その他の文字も大文字で書くと  $S$  と  $S_e$  が独立である。この時、確率変数  $S + S_e$  を  $S$  とおくと、式 ( 2 6 ) によって式 ( 2 7 ) が成立する。

【 0 0 6 9 】

【数 2 6】

$$\begin{aligned} \text{Ent}(S|S') &= \text{Ent}(S', S) - \text{Ent}(S') \\ &= \text{Ent}(S, S') - \text{Ent}(S') \\ &= \text{Ent}(S) - \text{Ent}(S') + \text{Ent}(S'|S) \quad \dots (26) \\ &= \text{Ent}(S) - \text{Ent}(S + S_e) + \text{Ent}(S + S_e|S) \\ &= m - m + \text{Ent}(S_e|S) = \text{Ent}(S_e) \end{aligned}$$

20

【 0 0 7 0 】

【数 2 7】

$$\text{Ent}(S|S') = \text{Ent}(S_e) \quad \dots (27)$$

【 0 0 7 1 】

この式 ( 2 7 ) から、上述した式 ( 6 ) は、次の式 ( 2 8 ) と同値であることがわかる。

【 0 0 7 2 】

【数 2 8】

$$\text{Ent}(S_e) \xrightarrow{n \rightarrow \infty} m \quad \dots (28)$$

【 0 0 7 3 】

以下、式 ( 6 ) の代わりに式 ( 2 8 ) を (  $n$  ,  $k$  ) 符号の安全性評価に用いる。

【 0 0 7 4 】

[ 特性関数 ]

特性関数を定義しその性質を調べることで、相互情報量を直接計算することなく、(  $n$  ,  $k$  ) 符号の安全性評価を行うことを考える。なお、以下の説明において記号  $i$  とは、虚数単位である。

【 0 0 7 5 】

$2^a$  N で  $x = (x_0, \dots, x_{m-1})$   $Z^m$ 、 $t = (t_0, \dots, t_{m-1})$   $Z^m$  とする時、確率分布  $p$  の特性関数  $\hat{p}$  を式 ( 2 9 ) に示す。

50

【 0 0 7 6 】

【 数 2 9 】

$$\phi_p(\mathbf{t}) := \frac{1}{\sqrt{a^m}} \sum_{\mathbf{x} \in \mathbb{Z}_a^m} p(\mathbf{x}) \exp \left[ i \frac{2\pi}{a} \langle \mathbf{t}, \mathbf{x} \rangle \right] \quad \dots (29)$$

【 0 0 7 7 】

ここで  $\mathbf{t}$  とは、ビット列の確率分布を多変数離散フーリエ変換した関数の入力ベクトルである。

特性関数  $p$  を上記のように定義すると、式 (29) の逆変換が存在し、特性関数  $p$  の入力と出力で内積の結果を保存する (すなわち、ユニタリ性が成り立つ)。

【 0 0 7 8 】

この特性関数  $p(\mathbf{t})$  には、 $a^m$  の平方根が含まれ、独立な確率変数の和に関する定理が成り立たない。このため、数値実験を行う際は、式 (30) によって特性関数  $p(\mathbf{t})$  を定義する。

【 0 0 7 9 】

【 数 3 0 】

$$\phi_p(\mathbf{t}) := \sum_{\mathbf{x} \in \mathbb{Z}_a^m} p(\mathbf{x}) \exp \left[ i \frac{2\pi}{a} \langle \mathbf{t}, \mathbf{x} \rangle \right] \quad \dots (30)$$

【 0 0 8 0 】

このように定義すると、ユニタリ変換ではなくなるが、逆変換の存在は満たされ独立な確率変数の和に関する定理も成り立つ。よって、以降では式 (30) を特性関数として定義する。このように定義した場合、次の式 (31) が成り立つ。

【 0 0 8 1 】

【 数 3 1 】

$$\|p - q\|_2 = \frac{1}{\sqrt{a^m}} \|\phi_p - \phi_q\|_2 \quad \dots (31)$$

【 0 0 8 2 】

[ 安全性評価 ]

アルファベット  $\mathcal{X}$  上の確率分布  $P_X$  に従う確率変数  $X$  について、確率変数  $X$  の 1 - norm (いち・ノルム) を、式 (32) により定義する。

【 0 0 8 3 】

【 数 3 2 】

$$\|P_X\|_1 := \sum_{x \in \mathcal{X}} |P_X(x)| \quad \dots (32)$$

【 0 0 8 4 】

同様に確率変数  $X$  の 2 - norm (に・ノルム) を、式 (33) により定義する。

【 0 0 8 5 】

【 数 3 3 】

$$\|P_X\|_2 := \sqrt{\sum_{x \in \mathcal{X}} P_X(x)^2} \quad \dots (33)$$

【 0 0 8 6 】

ここで、ファネス型不等式とは、エントロピーと  $n o r m$  の関係を表す不等式である。エントロピーの連続性に関する不等式としても知られている。

$X_1, X_2$  をアルファベット  $\mathcal{X}$  上の確率分布に従う確率変数とする。この時、式 ( 3 4 ) を満たす場合、式 ( 3 5 ) が成り立つ。

【 0 0 8 7 】

【数 3 4】

$$\|P_{X_1} - P_{X_2}\|_1 \leq \frac{1}{3} \quad \dots (34)$$

【 0 0 8 8 】

【数 3 5】

$$|\text{Ent}(X_1) - \text{Ent}(X_2)| \leq \|P_{X_1} - P_{X_2}\|_1 \log \#\mathcal{X} + \eta(\|P_{X_1} - P_{X_2}\|_1)$$

$$\text{ただし, } \eta(t) = -t \log t$$

$$\dots (35)$$

【 0 0 8 9 】

この式 ( 3 5 ) は、1 -  $n o r m$  において成立する式であるが、特性関数を考える上では 2 -  $n o r m$  を求める方が簡単である。そこで、1 -  $n o r m$  と 2 -  $n o r m$  との関係について以下に述べる。

20

【 0 0 9 0 】

アルファベット  $\mathcal{X}$  上の確率分布  $P_X$  に従う確率変数  $X$  について以下の式 ( 3 6 ) に示す関係が成立する。

【 0 0 9 1 】

【数 3 6】

$$\begin{aligned} \|P_X\|_2 &\leq \|P_X\|_1 \\ \|P_X\|_1 &\leq \sqrt{\#\mathcal{X}} \cdot \|P_X\|_2 \end{aligned} \quad \dots (36)$$

【 0 0 9 2 】

$n o r m$  に関する不等式とファネス型不等式から安全性評価を行う。まず、ファネス型不等式から、式 ( 3 7 ) に示す関係に注意して、式 ( 3 8 ) が成立する。

【 0 0 9 3 】

【数 3 7】

$$\lim_{t \rightarrow 0} t \log t = 0 \quad \dots (37)$$

【 0 0 9 4 】

【数 3 8】

$$\|P_{X_1} - P_{X_2}\|_1 \rightarrow 0 \Rightarrow |\text{Ent}(X_1) - \text{Ent}(X_2)| \rightarrow 0 \quad \dots (38)$$

40

【 0 0 9 5 】

このことから以下が成立する。すなわち、送信者  $A l i c e$  のメッセージに関する確率変数  $S$  は一様分布に従うことに注意すると、確率変数  $S$  のエントロピー  $\text{Ent}(S)$  は  $m$  になる。このことから、一様分布  $U$  のエントロピー  $\text{Ent}(U)$  は  $m$  になることを考慮すると次の式 ( 3 9 ) が成立する。

【 0 0 9 6 】

50

【数 3 9】

$$\|P_U - P_{S_e}\|_1 \rightarrow 0 \Rightarrow \text{十分小さい正の数}\epsilon\text{に対して, } |m - \text{Ent}(S_e)| < \epsilon \quad \dots (39)$$

【0 0 9 7】

すなわち、正の数  $\epsilon$  が十分小さいという仮定のもとで、式 (40) を満たすとき、

【0 0 9 8】

【数 4 0】

$$|\text{Ent}(S_e) - m| < \epsilon \quad \dots (40)$$

【0 0 9 9】

上述した式 (28) に示す場合と同様の状況と考えることができる。よって、式 (41) を満たす  $(n, k)$  符号を探すことで上記の目的が達成される。

【0 1 0 0】

【数 4 1】

$$\|P_U - P_{S_e}\|_1 \rightarrow 0 \quad \dots (41)$$

【0 1 0 1】

[ 数値実験アルゴリズムの導出 ]

上述した特性関数を数値実験で用いるために式変形を行う。以降では、式 (30) において  $a = 2$  とした場合を考える。この時、剰余類環  $Z_a$  は  $a$  が素数だと有限体  $F_a$  に等しくなるため、 $Z_a^m = F_a^m$  である。すなわち、式 (42) 及び式 (43) に示すように、

【0 1 0 2】

【数 4 2】

$$\mathbf{t} = (t_0, \dots, t_{m-1}) \in \mathbb{F}_2^m \quad \dots (42)$$

【0 1 0 3】

【数 4 3】

$$\mathbf{x} = (x_0, \dots, x_{m-1}) \in \mathbb{F}_2^m \quad \dots (43)$$

【0 1 0 4】

とすると、特性関数  $p(\mathbf{t})$  は、式 (44) に示す通りになる。

【0 1 0 5】

【数 4 4】

$$\begin{aligned} \phi_p(\mathbf{t}) &:= \sum_{x_0=0}^1 \cdots \sum_{x_{m-1}=0}^1 p(\mathbf{x}) \exp[\sqrt{-1}\pi \langle \mathbf{t}, \mathbf{x} \rangle] \\ &= \sum_{x_0=0}^1 \cdots \sum_{x_{m-1}=0}^1 p(\mathbf{x}) (-1)^{\langle \mathbf{t}, \mathbf{x} \rangle} \end{aligned} \quad \dots (44)$$

【0 1 0 6】

なお、一般的に、 $F_2$  の元 (例えば、0 (ゼロ) や 1 (いち)) 同士の積は AND、加

算はXORを用いるが、ここでは通常の足し算や掛け算と同様の表記を行う。

【 0 1 0 7 】

[ 一様分布の特性関数 ]

まず、式(45)に示す一様分布の特性関数について考える。

【 0 1 0 8 】

【 数 4 5 】

$$U(\mathbf{x}) = \frac{1}{2^m} \quad \dots (45)$$

【 0 1 0 9 】

式(46)に示す式変形を行うことで、一様分布の特性関数である一様特性関数  $U(\mathbf{t})$  の値について、入力ベクトル  $\mathbf{t}$  が零ベクトル  $\mathbf{0}$  である場合とそうでない場合の2通りに帰着される。

【 0 1 1 0 】

【 数 4 6 】

$$\begin{aligned} \phi_U(\mathbf{t}) &:= \sum_{x_0=0}^1 \dots \sum_{x_{m-1}=0}^1 U(\mathbf{x}) (-1)^{\sum_{k=0}^{m-1} t_k x_k} = \frac{1}{2^m} \sum_{x_0=0}^1 \dots \sum_{x_{m-1}=0}^1 (-1)^{\sum_{k=0}^{m-1} t_k x_k} \\ &= \frac{1}{2^m} \prod_{k=0}^{m-1} (1 + (-1)^{t_k}) = \prod_{k=0}^{m-1} \frac{1 + (-1)^{t_k}}{2} = \begin{cases} 1 & (\mathbf{t} = \mathbf{0}) \\ 0 & (otherwise) \end{cases} \end{aligned} \quad \dots (46)$$

【 0 1 1 1 】

[ 確率変数  $S_e$  についての特性関数 ]

確率変数  $S_e$  についての特性関数について考える。以下、検査行列  $H$  の縦ベクトル成分を式(47)及び式(48)を用いて、式(49)と表す。

【 0 1 1 2 】

【 数 4 7 】

$$[\mathbf{h}_0, \dots, \mathbf{h}_l, \dots, \mathbf{h}_{n-1}] \quad \dots (47)$$

【 0 1 1 3 】

【 数 4 8 】

$$\mathbb{F}_2^n \ni \mathbf{e} = [e_0, \dots, e_l, \dots, e_{n-1}]^T \quad \dots (48)$$

【 0 1 1 4 】

【 数 4 9 】

$$\mathbf{f}_l := e_l \mathbf{h}_l \quad \dots (49)$$

【 0 1 1 5 】

この時、確率変数  $S_e$  は式(50)のように書ける。

【 0 1 1 6 】

【数50】

$$\mathbf{s}_e = H\mathbf{e} = \sum_{l=0}^{n-1} e_l \mathbf{h}_l = \sum_{l=0}^{n-1} \mathbf{f}_l \quad \dots (50)$$

【0117】

ここで、 $e_l (l = 0, \dots, n-1)$  は、二元対称通信路 BSC の誤りベクトルの成分であり、独立に与えられる確率変数である。よって、 $f_l (l = 0, \dots, n-1)$  は  $e_l$  で定まる確率変数とも見ることができる。すなわち、 $f_l (l = 0, \dots, n-1)$  は独立であるから、 $f_l$  の和の分布に従う確率変数  $S_e$  の特性関数は、式 (51) に示すように  $f_l$  の特性関数の積に分解できる。

10

【0118】

【数51】

$$\begin{aligned} \phi_{S_e}(\mathbf{t}) &:= \prod_{l=0}^{n-1} \phi_{f_l}(\mathbf{t}) = \prod_{l=0}^{n-1} \sum_{\mathbf{f}_l \in \mathbb{F}_2^m} p(\mathbf{f}_l) (-1)^{\langle \mathbf{t}, \mathbf{f}_l \rangle} = \prod_{l=0}^{n-1} \left\{ (1-\alpha) + \alpha (-1)^{\langle \mathbf{t}, \mathbf{h}_l \rangle} \right\} \\ &= \prod_{l=0}^{m-1} \left\{ (1-\alpha) + \alpha (-1)^{\langle \mathbf{t}, \mathbf{h}_l \rangle} \right\} \prod_{l=m}^{n-1} \left\{ (1-\alpha) + \alpha (-1)^{\langle \mathbf{t}, \mathbf{h}_l \rangle} \right\} \\ &= \prod_{l=0}^{m-1} \left\{ (1-\alpha) + \alpha (-1)^{t_l} \right\} \prod_{l=m}^{n-1} \left\{ (1-\alpha) + \alpha (-1)^{\langle \mathbf{t}, \mathbf{h}_l \rangle} \right\} \end{aligned} \quad \dots (51)$$

【0119】

ここで、式 (51) の総乗の中身は式 (52) に示すように簡単化される。

【0120】

【数52】

$$\begin{aligned} (1-\alpha) + \alpha (-1)^{t_l} &= \begin{cases} 1 & (t_l = 0) \\ -2\alpha + 1 & (t_l = 1) \end{cases} \quad \dots (52) \\ (1-\alpha) + \alpha (-1)^{\langle \mathbf{t}, \mathbf{h}_l \rangle} &= \begin{cases} 1 & (\langle \mathbf{t}, \mathbf{h}_l \rangle = 0 \pmod{2}) \\ -2\alpha + 1 & (\langle \mathbf{t}, \mathbf{h}_l \rangle = 1 \pmod{2}) \end{cases} \end{aligned}$$

【0121】

また、式 (53) に示す通り、上述した 2-norm の性質により、2-norm の評価関数  $F$  を、一様分布に関する確率変数  $S$ 、盗聴者 Eve の持つ情報に関する確率変数  $S_e$  を用いることで、

【0122】

【数53】

$$\|P_U - P_{S_e}\|_2 = \frac{1}{\sqrt{2^m}} \sqrt{\sum_{\mathbf{t} \in \mathbb{F}_2^m} |\phi_U(\mathbf{t}) - \phi_{S_e}(\mathbf{t})|^2} =: F(\phi_U, \phi_{S_e}) \quad \dots (53)$$

【0123】

として定義する。本実施形態の一例として行う数値実験では、二元対称通信路 BSC のビット反転確率を  $0.0 \sim 0.5$  の範囲で動かして 2-norm の評価関数  $F$  の挙動を見る。

40

50

また、上述した 1 - norm と 2 - norm との関係から、式 ( 5 4 ) が成立する。

【 0 1 2 4 】

【数 5 4 】

$$F \leq \|P_U - P_{S_e}\|_1 \leq \sqrt{2^m} \cdot F \quad \dots (54)$$

【 0 1 2 5 】

[ 確率変数  $S_e$  の特性関数の算出アルゴリズム ]

上述した通り、式 ( 5 2 ) を用いることで、式 ( 5 5 ) を計算できることを述べた。

【 0 1 2 6 】

【数 5 5 】

$$\prod_{l=m}^{n-1} \left\{ (1-\alpha) + \alpha(-1)^{\langle t, h_l \rangle} \right\} \quad \dots (55)$$

【 0 1 2 7 】

しかしこのままでは 1 つの入力ベクトル  $t$  につき  $n - m = k$  回の内積計算を行う必要がある。この節では、式 ( 5 5 ) について  $k$  回の内積計算を高速化する方法を考える。計算機上では、 $F^m_2$  上の内積は積を AND でとり、それらの結果を XOR を用いて足し算する操作に帰着される。これを用いると以下の手順を適用することで、内積計算の高速化が可能になる。

【 0 1 2 8 】

手順 1 : 変数  $temp$  を 0 に初期化する。

手順 2 : for loop :  $l = m, \dots, n - 1$  {

手順 3 :  $t, h_l$  をビット列とみなして、 $temp1 = (t)_2 \text{ AND } (h_l)_2$  を計算する。

手順 4 :  $temp1$  の 1 の部分をカウントし、 $temp2$  に格納する。

手順 5 :  $temp2 = 1 \text{ mod } 2$  の場合、 $temp$  をインクリメントする。}

手順 6 :  $temp$  を繰り返し回数  $k$  として返す。

【 0 1 2 9 】

この手順により、式 ( 5 5 ) の値は、式 ( 5 6 ) によって与えられる。ここで、ビット列の 1 が立っている部分をカウントするアルゴリズムは、一般に  $population\ count$  アルゴリズム ( $popcnt$ ) と呼ばれている。 $popcnt$  は式 ( 5 7 ) のように定義される。

【 0 1 3 0 】

【数 5 6 】

$$(-2\alpha + 1)^{k'} \quad \dots (56)$$

【 0 1 3 1 】

【数 5 7 】

$$popcnt(t) := weight((t)_2) \quad \dots (57)$$

【 0 1 3 2 】

また、式 ( 5 2 ) の前半の  $t_1 = 1$  となる部分の積についても入力ベクトル  $t$  の 1 が立っている部分をカウントし、これを繰り返し回数として設定すればよい。以上から数値実験アルゴリズムを以下のようにまとめる。

【 0 1 3 3 】

手順 1 : 二元対称通信路 BSC のビット反転確率を とする。

手順 2 :  $H_2 = [ (h_m)_{10}, \dots, (h_{n-1})_{10} ]$  を乱数を用いて生成する。

10

20

30

40

50



```

手順 3 : for loop : = 0 . 0 , , 0 . 5 {
手順 4 :   temp 2 を 0 . 0 で初期化する。
手順 5 :   for loop : ( t ) 10 = 0 , , 2m - 1 {
手順 6 :     s = U ( ( t ) 10 )
手順 7 :     temp 1 = popcnt ( ( t ) 10 )
手順 8 :     for loop : l = m , , n - 1 {
手順 9 :       temp 1 = temp 1 + { popcnt ( ( t ) 10 AND hl )
mod 2 } }
手順 10 :   se = ( - 2l + 1 )temp 1
手順 11 :   temp = | s - se |2
手順 12 :   temp 2 = temp 2 + temp }
手順 13 :   と Root ( temp 1 ) / Root ( 2m ) をプロットする。 }

```

10

【 0 1 3 4 】

なお、ここでは、上述のアルゴリズムうち、手順 10 において行う  $(-2^l + 1)$  のべき乗を式 (58) に示すようにして計算している。

【 0 1 3 5 】

【数 5 8】

$$(-2\alpha + 1)^N = \exp [N \log(-2\alpha + 1)] \quad \dots (58)$$

【 0 1 3 6 】

ただし、式 (58) においてビット反転確率  $\alpha = 0.5$  の時  $(-2^l + 1) = 0$  となるので、 $\log(-2^l + 1) = -$  となってしまう計算することができない。そのため、ビット反転確率  $\alpha = 0.5$  は除外して考えることにする。

【 0 1 3 7 】

【 ( n , k ) 符号の性能 】

( n , k ) 符号がよい性能を持つということは、コセット符号化の乱数レートと B S C の通信路容量が一致するビット反転確率  $\alpha$  で、送信者 A l i c e の持つメッセージと盗聴者 E v e の持つ情報の相関がなくなることである。まず、ビット反転確率  $\alpha$  についての条件を式 (59) に示す。

30

【 0 1 3 8 】

【数 5 9】

$$1 - h(\alpha) = \frac{k}{n} \quad \dots (59)$$

【 0 1 3 9 】

式 (59) は、n と k とを固定すると  $\alpha$  についての方程式と見ることができる。式 (59) の左辺と右辺の交点を求めることを考え、これを図示すると、図 18 のようになる。

【 0 1 4 0 】

図 18 は、( n , k ) 符号の乱数レートとビット反転確率  $\alpha$  との関係の一例を示す図である。ここで、線 L 4 は、乱数レート (この一例では、k / n) を示す。また、L 5 は、 $1 - h(\alpha)$  を示す。求めたいビット反転確率  $\alpha$  が取りうる範囲は、0.0 ~ 0.5 であると仮定する。( n , k ) 符号の乱数レート (すなわち、n 及び k) を固定して、数 (54) を満たすビット反転確率  $\alpha$  を方程式の解を求めるアルゴリズムを用いて数値的に求めればよい。方程式の解を求める代表的な数値解法としてニュートン法や二分法が考えられるが、今回は二分法を用いて求めた値を採用することにする。念の為、求めた数値解をグラフにプロットすることで本当に求めたかどうかを再確認しておく。これを用いてプロットした値が図 18 の線 L 3 である。この値を ( n , k ) 符号のビット反転確率の理論値  $\alpha_{BSC}$  とし、理論値  $\alpha_{BSC}$  付近で評価値 F のとる値が小さい程 ( n , k ) 符号の性能がよいと定義する。数値実験の基準として、2 - norm の評価において、理論値

40

50

$b_{sc}$ 付近で評価値  $F$  の値が高々  $10^{-3}$  の定数倍程度であれば評価値  $F$  が十分に 0 に近いと判断し、よい  $(n, k)$  符号を選択できたと仮定する。 $1 - norm$  の評価においても、 $(2^m)$  の平方根と評価値  $F$  との積が高々  $10^{-2}$  の定数倍程度であれば評価値  $F$  が十分に 0 に近いと判断し、よい  $(n, k)$  符号を選択できたと仮定する。さらに、 $2 - norm$  の評価および  $1 - norm$  の評価の両方を満たす  $(n, k)$  符号を完全秘匿性に近い性能を持つ符号と定義する。

#### 【0141】

[ 数値計算のためのパラメータの生成 ]

$(n, k)$  符号の性能を見るために、プロットする  $(n, k)$  の組について考える。ここで、性能のよい符号を構成するためには、 $m$  をどれだけ増やせばよいかという問題がある。

10

#### 【0142】

従来手法によると、相互情報量  $J(S; S')$  を直接計算していたため、 $m$  の値を小さく固定したり、メッセージの入力を制限したりすることで、パラメータに制約条件を与えていた。

本実施形態においては、相互情報量を直接計算していないため計算量を削減できることから、パラメータの生成にも工夫ができる。数値実験アルゴリズム上  $2^m$  個の入力が必要なため、 $m$  が大きい場合の計算時間増大が懸念される。そこで、乱数レートを固定した時の  $m$  の値の変化に注目することで、 $m$  を大きくとらずに計算する方法を考えた。

#### 【0143】

図 19 は、乱数レートと  $m$  のサンプルとの関係の一例を示す図である。この図 19 に示すように、乱数レートが決まれば式 (59) を満たす  $(n, k)$  の組みを複数生成できることがわかる。 $i$  が大きくなればなる程  $m$  の値は大きくなるので  $m$  が大きい場合と小さい場合との比較が可能というのが、この方法のメリットである。このことから、 $n$  を固定して  $k$  を逐次動かして考えるよりも効率がよい。この方法を用いれば、乱数レートが同じ符号を探索することで  $m$  が大きい場合の性能とほぼ同じ性能を持つ符号が存在するかどうかを調べることができる。よって、 $m$  を比較的小さくしても同様の性能を持っているかどうかを確認することができる。

20

#### 【0144】

ここまで、前提事項と本実施形態の概要について説明した。次に、上述した計算手順によって検査行列  $H$  の評価を行う評価装置の一例について説明する。

30

#### 【0145】

[ 評価装置の構成 ]

図 1 は、本実施形態の評価装置 10 の機能構成の一例を示す図である。評価装置 10 は、一様特性関数算出部 110 と、ノイズ特性関数算出部 120 と、評価値算出部 130 とを備える。また、評価装置 10 は、ビット反転確率 と、検査行列  $H$  と、入力ベクトル  $t$  とを取得する取得部 (不図示) を備える。ここで、ビット反転確率 とは、盗聴通信路  $E$  のビット反転確率である。検査行列  $H$  とは、盗聴通信路符号化方式における公開パラメータである。入力ベクトル  $t$  とは、確率変数  $S_e$  の確率分布を多変数離散フーリエ変換した関数の入力ベクトルである。ここで、確率変数  $S_e$  をノイズベクトル  $S_e$  ともいう。ノイズベクトル  $S_e$  とは、盗聴通信路  $E$  を介して取得される盗聴者受信ビット列  $Z^n$  と検査行列  $H$  とから得られる盗聴者推定メッセージ  $s'$  に含まれる、ビット反転確率 に基づくノイズを示すビット列である。

40

#### 【0146】

これら各パラメータのうち検査行列  $H$  及び入力ベクトル  $t$  は、入力ベクトル・検査行列の縦ベクトル成分算出部 20 によって算出される。なお、この一例では、評価装置 10 と入力ベクトル・検査行列の縦ベクトル成分算出部 20 とが別の装置であるとして説明するが、評価装置 10 が、入力ベクトル・検査行列の縦ベクトル成分算出部 20 を備えていてもよい。

#### 【0147】

50

一様特性関数算出部 110 は、上述した式 (46) に示すように、入力ベクトル  $t$  に基づいて、一様分布の特性関数である一様特性関数  $U(t)$  を算出する。

【0148】

ノイズ特性関数算出部 120 は、上述した式 (30) に示すように、入力ベクトル  $t$  と、検査行列  $H$  の縦ベクトル成分  $h_1$  と、ビット反転確率  $p$  に基づいて、ノイズベクトル  $Se$  の確率分布の特性関数であるノイズ特性関数  $Se(t)$  を算出する。

なお、ノイズ特性関数  $Se(t)$  が、検査行列  $H$  の縦ベクトル成分  $h_1$  に基づいて算出されるのは一例であって、ノイズ特性関数  $Se(t)$  は、検査行列  $H$  の横ベクトル成分に基づいて算出されてもよい。

【0149】

評価値算出部 130 は、ノイズ特性関数算出部 120 が算出するノイズ特性関数  $Se(t)$  と、ビット反転確率  $p$  に基づいて、検査行列  $H$  の評価値  $F(U, Se)$  をビット反転確率  $p$  毎に算出する。この検査行列  $H$  の評価値  $F(U, Se)$  を、単に評価値  $F$  とも記載する。

【0150】

ここで、式 (51) 及び式 (52) に示したように、ノイズ特性関数  $Se(t)$  は、入力ベクトル  $t$  と検査行列  $H$  の縦ベクトル成分  $h_1$  との内積と、ビット反転確率  $p$  によって求められる。評価値算出部 130 は、式 (53) に示したように、入力ベクトル  $t$  と、検査行列  $H$  の縦ベクトル成分  $h_1$  との内積を求めることにより、評価値  $F$  を算出する。

【0151】

また、評価値算出部 130 は、ノイズ特性関数  $Se(t)$  と、一様特性関数算出部 110 が算出する一様特性関数  $U(t)$  とのノルムをビット反転確率  $p$  毎に検査行列  $H$  の評価値  $F$  として算出する。

【0152】

また、評価値算出部 130 は、ノイズ特性関数  $Se(t)$  と、一様特性関数  $U(t)$  との 2 ノルムを算出し、算出した 2 - norm を 1 - norm に変換することにより、評価値  $F$  を算出してもよい。

【0153】

[評価装置の動作]

次に、図 2 を参照して、評価装置 10 による評価値  $F$  の算出手順の一例について説明する。

図 2 は、本実施形態の評価装置 10 の評価値  $F$  を算出する概略動作の一例を示す図である。

(ステップ St10) 評価装置 10 の取得部 (不図示) は、検査行列  $H$  の縦ベクトル成分  $h_1$  を取得する。

(ステップ St20) 評価装置 10 の取得部 (不図示) は、入力ベクトル  $t$  を取得する。

(ステップ St30) 評価装置 10 は、ビット反転確率  $p$  を更新する。ここで、評価装置 10 は、ビット反転確率  $p$  を 0.0 ~ 0.5 の範囲で所定の増分だけ値を増加させることにより、ビット反転確率  $p$  を更新する。例えば、評価装置 10 は、ビット反転確率  $p = 0.0$  を初期値として 0.1 ずつ増加させながらビット反転確率  $p$  が 0.5 に達するまで、ステップ St40 ~ ステップ St90 の処理を繰り返し実行する。

【0154】

(ステップ St40) 一様特性関数算出部 110 は、ステップ St20 において取得された入力ベクトル  $t$  に基づき、一様特性関数  $U(t)$  を算出する。

(ステップ St50) ノイズ特性関数算出部 120 は、ステップ St10 において取得された縦ベクトル成分  $h_1$  及びステップ St20 において取得された入力ベクトル  $t$  に基づき、ノイズ特性関数  $Se(t)$  を算出する。ここで、図 3 を参照して、ノイズ特性関数  $Se(t)$  の算出手順の詳細について説明する。

【0155】

10

20

30

40

50

図3は、本実施形態のノイズ特性関数算出部120によるノイズ特性関数  $S_e(t)$  の算出手順の一例を示す図である。

(ステップSt510)変数  $temp$  及び変数  $l$  を初期化する。

(ステップSt520)入力ベクトル  $t$ 、縦ベクトル成分  $h_1$  をいずれもビット列とみなして、入力ベクトル  $t$  と縦ベクトル成分  $h_1$  との論理積を算出する。

(ステップSt530)ビット列のうちステップSt520において算出された論理積が「1」であるビット列の数を計数する。

(ステップSt540)ステップSt530において計数された結果を2で除した余り(剰余)が「1」である場合には、変数  $temp$  をインクリメントする。

(ステップSt550)変数  $l$  が  $(n-1)$  に達しているか否かを判定する。変数  $l$  が  $(n-1)$  に達していない(ステップSt550; NO)場合には、変数  $l$  をインクリメントして(ステップSt560)、処理をステップSt520に戻す。変数  $l$  が  $(n-1)$  に達している場合(ステップSt550; YES)には、処理をステップSt570に進める。

(ステップSt570)ノイズ特性関数  $S_e(t) = (-2 + 1)^{temp}$  として、ノイズ特性関数  $S_e(t)$  を算出する。

#### 【0156】

(ステップSt60)図2に戻り、評価値算出部130は、ステップSt40において算出された一様特性関数  $U(t)$  と、ステップSt50において算出されたノイズ特性関数  $S_e(t)$  とに基づいて、評価値  $F$  を算出する。

(ステップSt70)評価装置10は、横軸をビット反転確率、縦軸を評価値  $F$  として評価値  $F$  をプロットする。

ここで、評価装置10は、入力ベクトル  $t$  をビット列とみなした場合の、すべての成分について評価値  $F$  を算出し(ステップSt80)、評価値  $F$  のプロットを繰り返す。また、評価装置10は、ビット反転確率が0.5に達するまでビット反転確率を更新して(ステップSt90)、評価値  $F$  のプロットを繰り返す。この評価装置10による評価値  $F$  のプロットの一例を図4及び図5に示す。

#### 【0157】

[評価装置による評価結果の一例]

図4は、本実施形態の評価装置10による評価値  $F$  のプロットの一例(その1)を示す図である。図5は、本実施形態の評価装置10による評価値  $F$  のプロットの一例(その2)を示す図である。この一例において、図4には、 $T(BSC) = 0.5$  としたときの  $(n, k) = (10, 5), (40, 20), (60, 30)$  についての実験結果のグラフをプロットした。図5には、 $T(BSC) = 0.5$  としたときの  $(n, k) = (20, 10), (30, 15), (50, 25), (60, 30)$  についての実験結果のグラフをプロットした。いずれも、グラフは縦軸を  $2-norm$  の評価値  $F$  とし、横軸を二元対称通信路  $BSC$  のビット反転確率としている。なお、符号の性能をチェックするために、これらの図の線  $L1$  によって理論値  $B_{SC}$  をプロットした。また、理論値  $B_{SC}$  付近の評価値  $F$  の差をわかりやすくするため、理論値  $B_{SC}$  付近の  $n$  の値と評価値  $F$  との関係を図6に示す。

#### 【0158】

図6は、本実施形態の理論値  $B_{SC}$  付近の評価値  $F$  の一例を示す図である。これらのデータから、理論値  $B_{SC}$  付近の評価値  $F$  が  $(n, k) = (60, 30)$  で約  $1.449 \times 10^{-3}$  になっているため、 $2-norm$  において  $(n, k) = (60, 30)$  の場合、上述した  $(n, k)$  符号の条件を満たした。この結果から  $m = n - k = 30$  くらいであれば検査行列  $H$  の評価として十分と判断し、 $(n, k) = (40, 10)$  とすることで再度実験を行った。 $(n, k) = (40, 10)$  とした時の結果を図7に示す。

#### 【0159】

図7は、本実施形態において  $(n, k) = (40, 10)$  とした場合の評価値  $F$  の一例を示す図である。同図の場合、理論値  $B_{SC}$  付近の評価値  $F$  が約  $3.233 \times 10^{-3}$

10

20

30

40

50

であった。よって、 $(n, k) = (40, 10)$ とした場合において、 $(n, k) = (60, 30)$ とした場合と同様の結果が得られたといえる。

#### 【0160】

図8は、本実施形態において $(n, k) = (60, 30)$ とした場合の評価値Fの一例を示す図である。2-normにおいて $(n, k) = (60, 30)$ の場合に、よい性能を持つ検査行列Hを構成できた。このため、この結果を用いて横軸は二元対称通信路BSCのビット反転確率を、縦軸は $\text{Root}(2^{30}) \cdot F$ としてプロットした。なお、ここで $\text{Root}(2^{30})$ とは、 $2^{30}$ の平方根である。1-normの評価においては、グラフの縦軸と横軸との対応が非常にわかりづらいため、観察したい $\text{Root}(2^{30}) \cdot F$ の値に線L2を引くことにする。

10

#### 【0161】

$(n, k) = (60, 30)$ において、2-normの評価については理論値 $B_{SC}$ 付近で評価値Fが0に近い値をとったのにも関わらず、1-normの評価においては、理論値 $B_{SC}$ 付近の $\text{Root}(2^{30}) \cdot F$ の値が約47.466であった。これでは、 $\text{Root}(2^{30}) \cdot F = 0$ とはいえないため、1-normの評価に関して $(n, k) = (60, 30)$ では適さないことがわかる。

#### 【0162】

2-normでは、 $m = n - k = 30$ とした場合、理論値 $B_{SC}$ 付近で評価値Fが0に近づくことがわかったので、 $m = 30$ とした場合に、 $\text{Root}(2^{30}) \cdot F = 0$ となるような $(n, k)$ 符号を探索することにする。一般にnが大きい時に大数の法則の効果が出てくるので、今回は $n = 400$ として再実験を行った。上述した実験結果で、2-normの評価に関して $m = 30$ 程度とれば評価値Fが0に十分近づくことがわかったため $(n, k) = (400, 370)$ で実験を行った。

20

#### 【0163】

図9は、本実施形態において $(n, k) = (400, 370)$ とした場合の評価値Fの実験結果の一例を示す図である。同図においては、横軸を二元対称通信路BSCのビット反転確率として、縦軸を評価値Fにとってプロットしている。

図10は、本実施形態において $(n, k) = (400, 370)$ とした場合の評価値Fの実験結果の一例を示す図である。横軸を二元対称通信路BSCのビット反転確率として、縦軸を $\text{Root}(2^{30}) \cdot F$ でプロットしたグラフである。なお、本節においてグラフの縦軸と横軸の対応をわかりやすくするため、 $\text{Root}(2^{30}) \cdot F$ については上述と同様に観察したい $\text{Root}(2^{30}) \cdot F$ の値に線L2を引くことにする。

30

#### 【0164】

数値実験の結果 $(n, k) = (400, 370)$ において $B_{SC}$ 付近の値が、 $F = ||PS - PSe||_2 = 1.636 \times 10^{-6}$ であった。さらに、この両辺に $\text{Root}(2^{30})$ をかけると、 $\text{Root}(2^{30}) \cdot F = 0.054$ となった。よって、 $(n, k) = (400, 370)$ の場合、上述した $(n, k)$ 符号の基準を満たすため、本実施形態で定義する完全秘密性に近い性能を持つ $(n, k)$ 符号を選択できた。この場合、ファネス型不等式の右辺に $||PS - PSe||_2 = \text{Root}(2^{30}) \cdot F = 0.054$ を代入すると、約1.847という値が得られた。

40

#### 【0165】

##### [変形例]

以上示した数値実験で用いた方法は、二元対称通信路BSCのビット反転確率の刻み幅(増分)ごとに2-normの評価値Fの計算を行っていた。評価値Fの計算において、入力が $2^m$ 個ある。よって、ビット反転確率の刻み幅(増分)ごとに $2^m$ 回のループが必要であった。以降では、 $2^m$ 回のループを削減する演算手順について説明する。

まず、一様分布に関する一様特性関数 $U(t)$ と盗聴者の持つ情報に関するノイズ特性関数 $Se(t)$ の入力がともに零ベクトル0ならば、 $U(0) = Se(0) = 1$ が成立することより、式(60)が成り立つ。

#### 【0166】

50

【数 6 0】

$$|\phi_U(\mathbf{0}) - \phi_{S_e}(\mathbf{0})|^2 = 0 \quad \dots (60)$$

【0167】

以下、 $K := F^{m_2} - \{0\}$  とすると、2-norm の評価値  $F$  を計算する際の総和では、 $t \in K$  として一般性を失わない。また、 $t \in K$  に対して、式 (61) 及び式 (62) が成り立つ。

【0168】

【数 6 1】

$$1 \leq \text{popcnt}(t) \leq m. \quad \dots (61)$$

【0169】

【数 6 2】

$$0 \leq \sum_{l=m}^{n-1} \{\text{popcnt}(t \text{ AND } h_l) \bmod 2\} \leq k \quad \dots (62)$$

【0170】

よって、式 (63) が成り立つ。

【0171】

【数 6 3】

$$1 \leq \text{popcnt}(t) + \sum_{l=m}^{n-1} \{\text{popcnt}(t \text{ AND } h_l) \bmod 2\} \leq n \quad \dots (63)$$

【0172】

このことを利用すると格納領域  $n$  のリスト  $b$  に総乗の回数を格納することで、 $2^m$  回のループをビット反転確率 の刻み幅ごとに実行する必要はなくなるため、1 回のみ  $2^m$  回のループを実行するだけで済む。この前処理アルゴリズムを以下にまとめる。

【0173】

手順 1 : 格納領域  $n$  のリスト  $b$  を 0 で初期化する。

手順 2 : for loop :  $(t)_{i_0} = 1, \dots, 2^m - 1 \{$

手順 3 :  $j = \text{popcnt}((t)_{i_0})$

手順 4 : for loop :  $l = m, \dots, n - 1 \{$

手順 5 : if  $\text{popcnt}((t)_{i_0} \text{ AND } (h_l)_{i_0}) = 1 \bmod 2$

{

手順 6 :  $j = j + 1 \}$

手順 7 :  $b[j]$  をインクリメントする。}

【0174】

この前処理アルゴリズムを適用することによって、式 (64) の逆像で  $K$  を  $n$  個の部分集合に分割できる。すなわち、式 (65) となるので、式 (66) が成り立つ。

【0175】

【数 6 4】

$$f(t) := \text{popcnt}(t) + \sum_{l=m}^{n-1} \{\text{popcnt}(t \text{ AND } h_l) \bmod 2\} \quad \dots (64)$$

【0176】

10

20

30

40

【数 6 5】

$$\mathbb{K} = K_1 \cup \dots \cup K_j \cup \dots \cup K_n$$

$$K_j \cap K_\beta = \emptyset \quad (j \neq \beta) \quad \dots (65)$$

$$\#K_j = b[j]$$

【0 1 7 7】

【数 6 6】

$$\sum_{j=1}^n b[j] = \#\mathbb{K} = 2^m - 1 \quad \dots (66)$$

【0 1 7 8】

このことから、2-normの評価値Fは、式(67)のように書き直せる。

【0 1 7 9】

【数 6 7】

$$\begin{aligned} F(\phi_{S_e}) &= \frac{1}{\sqrt{2^m}} \sqrt{\sum_{t \in \mathbb{K}} |\phi_{S_e}(t)|^2} = \frac{1}{\sqrt{2^m}} \sqrt{\sum_{t \in \mathbb{K}} \{(-2\alpha + 1)^{f(t)}\}^2} \\ &= \frac{1}{\sqrt{2^m}} \sqrt{\sum_{t \in \mathbb{K}} (-2\alpha + 1)^{2f(t)}} = \frac{1}{\sqrt{2^m}} \sqrt{\sum_{j=1}^n b[j] (-2\alpha + 1)^{2j}} \end{aligned} \quad \dots (67)$$

さらに、ビット反転確率 = 0 の場合には、評価値Fの定義に直接、 = 0 を代入することで、ノイズ特性関数  $S_e(t)$  は、式(68)として表される。

【0 1 8 0】

【数 6 8】

$$F(\phi_{S_e}) = \frac{\sqrt{2^m - 1}}{\sqrt{2^m}} \quad \dots (68)$$

【0 1 8 1】

ビット反転確率 = 0.5 の場合についても、評価値Fの定義に直接代入することで、ノイズ特性関数  $S_e(t)$  は、式(69)として表される。

【0 1 8 2】

【数 6 9】

$$F(\phi_{S_e}) = 0 \quad \dots (69)$$

【0 1 8 3】

また、式(70)に示す parity 関数も用いることとする。

【0 1 8 4】

【数 7 0】

$$\text{parity}(t) := \begin{cases} 1 & (\text{popcnt}(t) = 1 \bmod 2) \\ 0 & (\text{popcnt}(t) = 0 \bmod 2) \end{cases} \quad \dots (70)$$

【0185】

上述した考察を加味した上で、数値実験アルゴリズムを以下にまとめ直す。

【0186】

手順 1 : 二元対称通信路 B S C のビット反転確率を とする。

手順 2 :  $H_2 = [ (h_m)_{10}, \dots, (h_{n-1})_{10} ]$  を、乱数を用いて生成する

10

手順 3 : 格納領域  $n$  のリスト  $b [ ]$  を 0 で初期化する。

手順 4 : for loop :  $(t)_{10} = 1, \dots, 2^m - 1 \{$

手順 5 :  $j = \text{popcnt}((t)_{10})$

手順 6 : for loop :  $l = m, \dots, n - 1$

手順 7 : if  $\text{parity}((t)_{10} \text{ AND } (h_l)_{10}) = 1 \{$

手順 8 :  $j = j + 1 \} \}$

手順 9 :  $b [ j ]$  をインクリメントする。}

手順 10 : for loop :  $\alpha = 0.0, \dots, 0.5 \{$

手順 11 : temp1 を 0.0 で初期化する。

手順 12 : if  $\alpha = 0.0$  or  $\alpha = 0.5 \{$

手順 13 : if  $\alpha = 0.0 \{$

手順 14 :  $\text{temp1} = 2^m - 1 \} \}$

手順 15 : else {

手順 16 : temp4 を 0.0 で初期化する。

手順 17 : for loop :  $j = 1, \dots, n \{$

手順 18 : if  $j = 1 \{$

手順 19 :  $\text{temp3} = 2 * \log(-2 + 1)$

手順 20 :  $\text{temp4} = \text{temp3} \} \}$

手順 21 : else {

手順 22 :  $\text{temp4} = \text{temp4} + \text{temp3} \}$

手順 23 : if  $b [ j ] \neq 0 \{$

手順 24 :  $\text{temp2} = b [ j ] * \exp [ \text{temp4} ]$

手順 25 :  $\text{temp1} = \text{temp1} + \text{temp2} \} \} \}$

手順 26 :  $\text{Root}(\text{temp1}) / \text{Root}(2^m)$  をプロットする。}

20

30

【0187】

この変形例における評価装置 10 による評価値  $F$  の算出手順の一例について、より具体的に説明する。

図 11 は、本実施形態の変形例に係る評価装置 10 の評価値  $F$  を算出する概略動作の一例を示す図である。

40

(ステップ S t 1 0 0) 評価装置 10 の取得部 (不図示) は、検査行列  $H$  の縦ベクトル成分  $h_l$  を取得する。

(ステップ S t 1 1 0) 評価装置 10 の取得部 (不図示) は、入力ベクトル  $t$  を取得する。

(ステップ S t 1 2 0) 評価装置 10 は、評価値  $F$  を算出する。ここで、図 12 を参照して、評価値  $F$  の算出手順の詳細について説明する。

【0188】

図 12 は、本実施形態の変形例に係る評価装置 10 による評価値  $F$  の算出手順の一例を示す図である。評価装置 10 が備えるコンピュータが動作主体となって、以降の各ステップ S t を処理する。

50



(ステップ S t 2 1 0) 格納領域  $n$  のリスト  $b$  ( $b [ j ]$  の各要素) を初期化する。

(ステップ S t 2 2 0) 入力ベクトル  $t$  をビット列とみなして、「1」であるビット列の数を計数する。

(ステップ S t 2 3 0) 入力ベクトル  $t$  及び縦ベクトル成分  $h_1$  をいずれもビット列とみなして、入力ベクトル  $t$  と縦ベクトル成分  $h_1$  との論理積のパリティを式 (70) により算出する。パリティが「1」である場合 (ステップ S t 2 3 0 ; Y E S) には、変数  $j$  をインクリメントする。

(ステップ S t 2 4 0) 変数  $l$  が  $(n - 1)$  に達しているか否かを判定する。変数  $l$  が  $(n - 1)$  に達していない (ステップ S t 2 4 0 ; N O) 場合には、変数  $l$  をインクリメントして (ステップ S t 2 6 0)、処理をステップ S t 2 3 0 に戻す。変数  $l$  が  $(n - 1)$  に達している場合 (ステップ S t 2 4 0 ; Y E S) には、処理をステップ S t 2 7 0 に進める。

(ステップ S t 2 7 0) リスト  $b [ j ]$  をインクリメントする (リスト  $b$  の要素の値を 1 増加させる)。

(ステップ S t 2 8 0) 入力ベクトル  $t$  のすべての成分について算出したか否かを判定する。入力ベクトル  $t$  のすべての成分について算出していない場合 (ステップ S t 2 8 0 ; N O) には、処理をステップ S t 2 2 0 に戻す。入力ベクトル  $t$  のすべての成分について算出した場合 (ステップ S t 2 8 0 ; Y E S) には、処理をステップ S t 2 9 0 に進める。

#### 【0189】

(ステップ S t 2 9 0) ビット反転確率 及び変数  $j$  を初期化する。

(ステップ S t 3 0 0) 変数  $t e m p 1$  を初期化する。

(ステップ S t 3 1 0) ビット反転確率 の値によって処理を切り替える。具体的には、ビット反転確率 = 0 の場合には、処理をステップ S t 2 3 0 に進める。ビット反転確率 = 0 . 5 の場合には、処理を終了する。ビット反転確率 > 0 かつ < 0 . 5 の場合には、処理をステップ S t 3 4 0 に進める。

(ステップ S t 3 2 0) ビット反転確率 = 0 の場合、変数  $t e m p 1$  に  $(2^m - 1)$  を代入して、ビット反転確率 をインクリメントし (ステップ S t 3 3 0)、処理をステップ S t 3 0 0 に戻す。

(ステップ S t 3 4 0) 変数  $t e m p 4$  を初期化する。

(ステップ S t 3 5 0) 変数  $j = 1$  であるか否かを判定する。変数  $j = 1$  である場合には、変数  $t e m p 3 = 2 * \log (-2 + 1)$  を求め (ステップ S t 3 6 0)、求めた変数  $t e m p 3$  を変数  $t e m p 4$  に代入する (ステップ S t 3 7 0)。変数  $j = 1$  でない場合には、変数  $t e m p 3$  と変数  $t e m p 4$  との和を変数  $t e m p 4$  に代入する (ステップ S t 3 8 0)。

(ステップ S t 3 9 0) リスト  $b [ j ] \neq 0$  であるか否かを判定する。リスト  $b [ j ] \neq 0$  でない (つまり、リスト  $b [ j ] = 0$  である) 場合には、変数  $j$  をインクリメントして (ステップ S t 4 4 0)、処理をステップ S t 3 5 0 に戻す。リスト  $b [ j ] \neq 0$  である場合には、処理をステップ S t 4 0 0 に進める。

(ステップ S t 4 0 0) リスト  $b [ j ] * \exp [ t e m p 4 ]$  を求め、求めた値を変数  $t e m p 2$  に代入する。

(ステップ S t 4 1 0) 変数  $t e m p 1$  と変数  $t e m p 2$  との和を変数  $t e m p 1$  に代入する。

(ステップ S t 4 2 0) 変数  $j$  が  $n$  に達しているか否かを判定する。変数  $j$  が  $n$  に達していない場合には、変数  $j$  をインクリメントして (ステップ S t 4 4 0)、処理をステップ S t 3 5 0 に戻す。変数  $j$  が  $n$  に達している場合には、処理をステップ S t 4 3 0 に進める。

(ステップ S t 4 3 0)  $R o o t ( t e m p 1 ) / R o o t ( 2^m )$  を算出し、算出した結果を、ビット反転確率 についての評価値  $F$  として出力する。

#### 【0190】

10

20

30

40

50

上述ではKの分割を考えていたが、理論的にはKの分割というよりも $F^m_2$ の分割である。ここでは、 $f(t) = 0 \quad t = 0$ と $0 \leq t < K$ (ここで、 $0 \leq t < K$ の記号は、 $0$ (ゼロ)がKの要素でないことを示す。)から、Kをn分割した。 $F^m_2$ の分割を考える際は、 $0 \leq t < F^m_2$ (この $F^m_2$ はビット列を示す。)から $F^m_2$ のn+1分割を考える必要がある。よって、2-normの評価値Fの計算の大部分は $F^m_2$ が分割された集合の要素数をカウントするという問題に帰着されることがわかる。上述した変形例の数値実験アルゴリズムを用いて $(n, k) = (60, 20)$ について横軸を二元対称通信路BSCのビット反転確率、縦軸を2-normの評価値Fとしてプロットした結果を図13に示す。  
【0191】

図13は、本実施形態の変形例のアルゴリズムによる評価値Fの実験結果の一例を示す図である。上記パラメータで理論値 $\epsilon_{BSC}$ 付近の評価値Fについて $F = \|PS - PSe\|_2 = 3.636 \times 10^{-5}$ であるため、2-normの評価については上述した基準を満たしている。ここで、 $\|A\|_2$ との表現は、Aの2-normを示す。1-normの評価については、両辺に $\text{Root}(2^{40})$ をかけることにより、 $\text{Root}(2^{40}) \cdot F = 38.131$ であるため、1-normの評価については不適切なパラメータである。

改良後(変形例)のアルゴリズムは、改良前のアルゴリズムに比べ、計算時間が減少した。上述した $(n, k) = (60, 20)$ (すなわち、 $m = n - k = 40$ )において、改良前のアルゴリズムの場合、実験環境において約1週間経過しても計算が終わらなかったが、改良後のアルゴリズムの場合、改良前と同一の実験環境において約4時間半で計算が終わった。さらに、 $(n, k) = (400, 370)$ の場合、改良前のアルゴリズムであると約2日半かかる計算が、改良後であると、改良前と同一の実験環境において約4分半で計算できた。

【0192】

以上説明したように、本実施形態の評価装置10は、ノイズ特性関数 $Se(t)$ の算出にあたり、式(30)に示す多変数離散フーリエ級数を利用している。ここで、式(30)の指数部の演算について、体 $F_2$ の演算としてmod 2の剰余演算を行う。この手順を採用することにより、入力ベクトルtの離散点を $2^m$ 個だけ計算すれば、ノイズ特性関数 $Se(t)$ を求めることができる。すなわち、本実施形態の評価装置10によれば、盗聴通信路符号化における符号化レートの評価値を、実用的な手順により求めることができる。

【0193】

また、本実施形態の評価装置10は、例えば、1変数のz変換から逆変換により確率分布を求めることをしない。本実施形態の評価装置10は、逆変換を行わずに直接フーリエ変換領域における $2^m$ 個の離散点を計算することにより、一様特性関数 $U(t)$ とノイズ特性関数 $Se(t)$ との2ノルムを直接求める。

【0194】

また、本実施形態の評価装置10は、式(36)に示す、1ノルムと2ノルムの関係式を利用することにより、盗聴者Eveの持つ確率変数Seと一様分布Uの1ノルムの評価を、上述した2ノルムによる演算を経由することで行っている。すなわち、本実施形態の評価装置10は、一様特性関数 $U(t)$ とノイズ特性関数 $Se(t)$ との2ノルムを求めた後、式(36)の関係を用いて一様分布Uとノイズ確率変数Seとの1ノルムの評価を行う。さらに、式(35)に示す、ファネス型不等式を利用することにより、盗聴者Eveの持つ確率変数Seのエントロピーの評価を行う。

【0195】

また、本実施形態の評価装置10は、ベクトルにおける1の数を汎用関数であるpopcount(式(57))によって算出することにより、演算の高速化を図っている。

【0196】

また、検査行列Hの評価においては、ビット反転確率を0.0から0.5までの範囲で様々に変えて評価値Fを算出する。ここで、ビット反転確率を様々に変えて評価値F

10

20

30

40

50

を算出する場合、計算オーダーが $O(2^m)$ になる演算部分が生じる。本実施形態の評価装置10は、ビット反転確率を0.0から0.5まで変化させた場合であっても、計算オーダーが $O(2^m)$ になる演算部分(すなわち、計算負荷が大きい演算部分)を、1回のみで済ませるアルゴリズムによって評価値Fを算出する。

したがって、本実施形態の評価装置10は、従来手法に比べて演算を高速化することができる。

【0197】

以上、本発明の実施形態について図面を参照して詳述してきたが、具体的な構成はこの実施形態に限られるものではなく、本発明の趣旨を逸脱しない範囲で適宜変更を加えることができる。上述した各実施形態に記載の構成を組み合わせてもよい。

10

【0198】

なお、上記の実施形態における各装置が備える各部は、専用のハードウェアにより実現されるものであってもよく、また、メモリおよびマイクロプロセッサにより実現させるものであってもよい。

【0199】

なお、各装置が備える各部は、メモリおよびCPU(中央演算装置)により構成され、各装置が備える各部の機能を実現するためのプログラムをメモリにロードして実行することによりその機能を実現させるものであってもよい。

【0200】

また、各装置が備える各部の機能を実現するためのプログラムをコンピュータ読み取り可能な記録媒体に記録して、この記録媒体に記録されたプログラムをコンピュータシステムに読み込ませ、実行することにより、制御部が備える各部による処理を行ってもよい。なお、ここでいう「コンピュータシステム」とは、OSや周辺機器等のハードウェアを含むものとする。

20

【0201】

また、「コンピュータシステム」は、WWWシステムを利用している場合であれば、ホームページ提供環境(あるいは表示環境)も含むものとする。

また、「コンピュータ読み取り可能な記録媒体」とは、フレキシブルディスク、光磁気ディスク、ROM、CD-ROM等の可搬媒体、コンピュータシステムに内蔵されるハードディスク等の記憶装置のことをいう。さらに「コンピュータ読み取り可能な記録媒体」とは、インターネット等のネットワークや電話回線等の通信回線を介してプログラムを送信する場合の通信線のように、短時間の間、動的にプログラムを保持するもの、その場合のサーバやクライアントとなるコンピュータシステム内部の揮発性メモリのように、一定時間プログラムを保持しているものも含むものとする。また上記プログラムは、前述した機能の一部を実現するためのものであってもよく、さらに前述した機能をコンピュータシステムにすでに記録されているプログラムとの組み合わせで実現できるものであってもよい。

30

【符号の説明】

【0202】

10 評価装置、20 入力ベクトル・検査行列の縦ベクトル成分算出部、110 一様特性関数算出部、120 ノイズ特性関数算出部、130 評価値算出部、F 評価値

40

【図1】

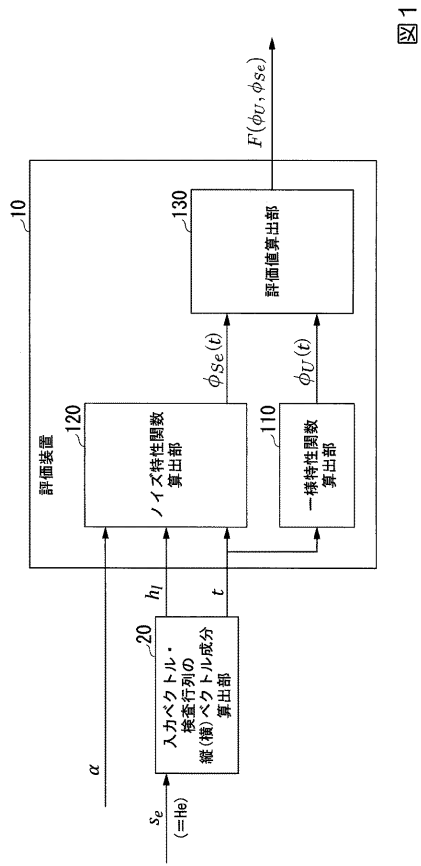


図1

【図2】

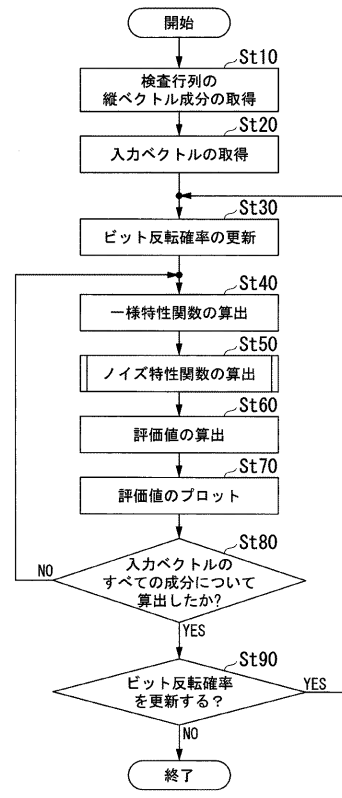


図2

【図3】

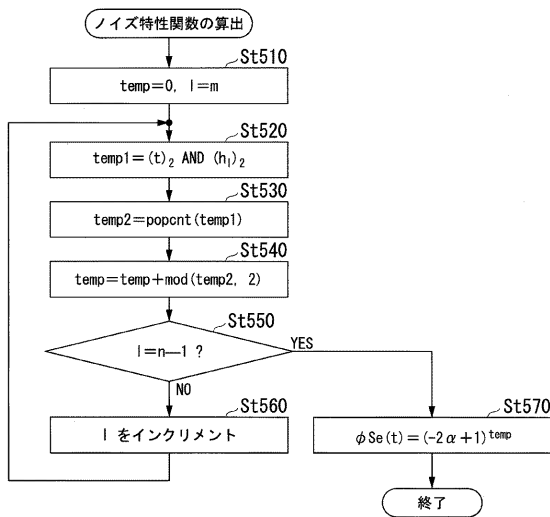


図3

【図4】

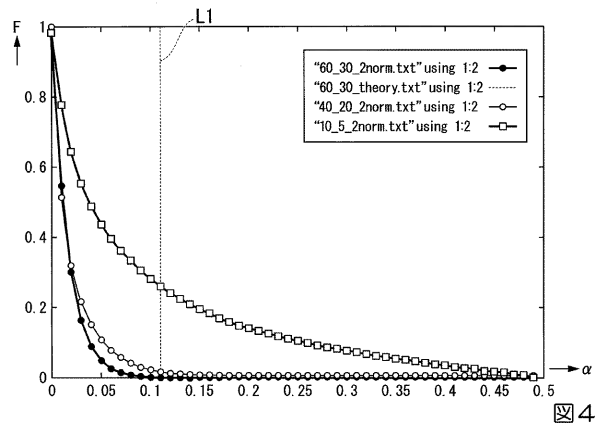


図4

【 図 5 】

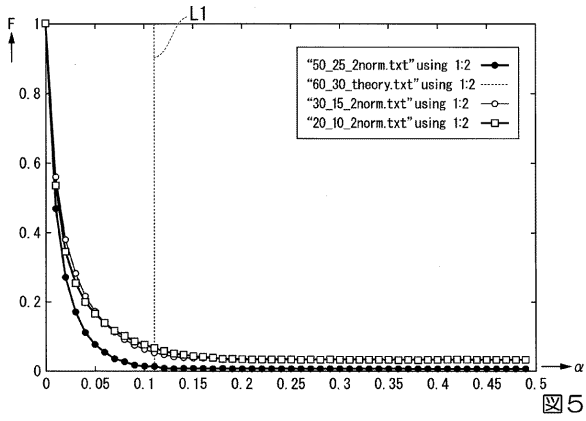


図5

【 図 6 】

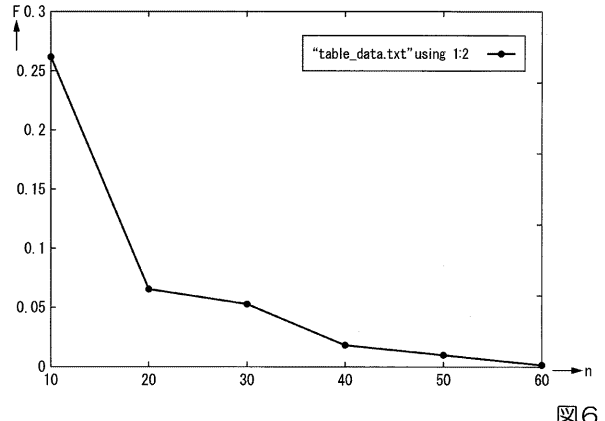


図6

【 図 7 】

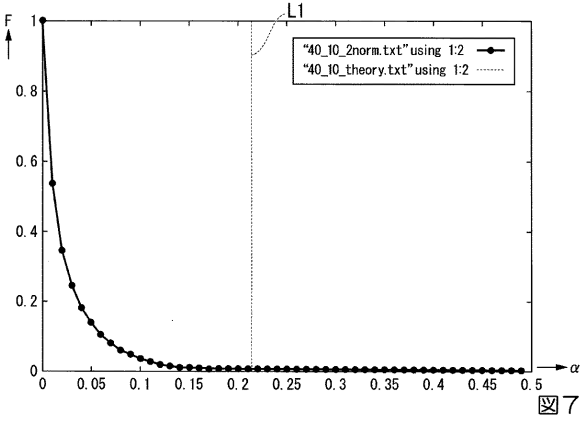


図7

【 図 8 】

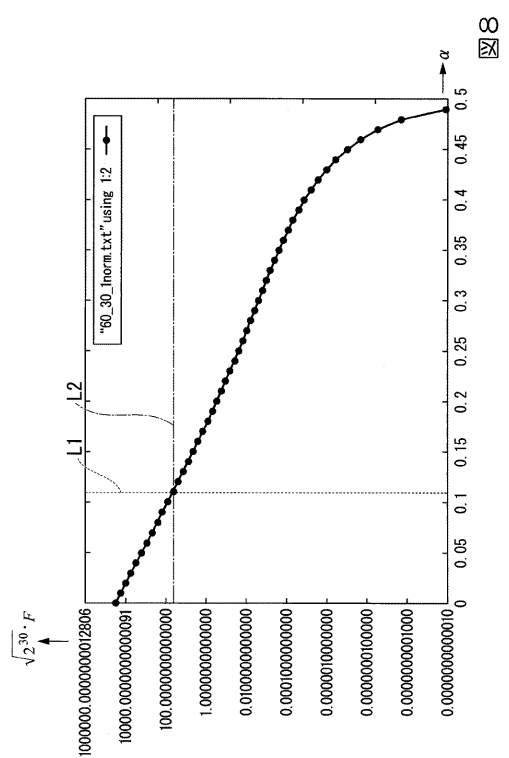
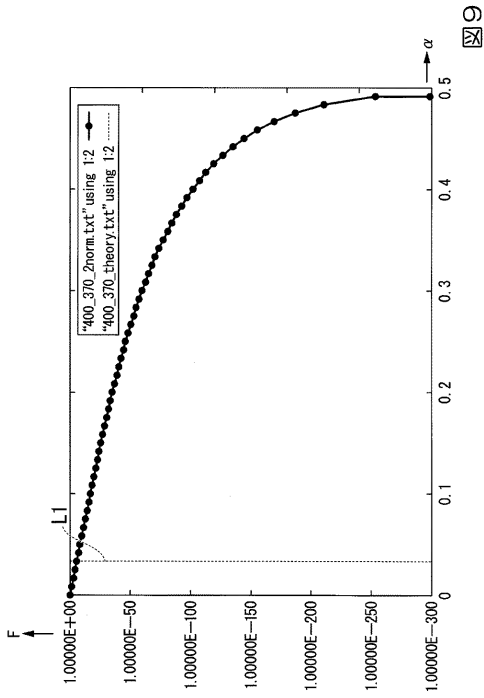
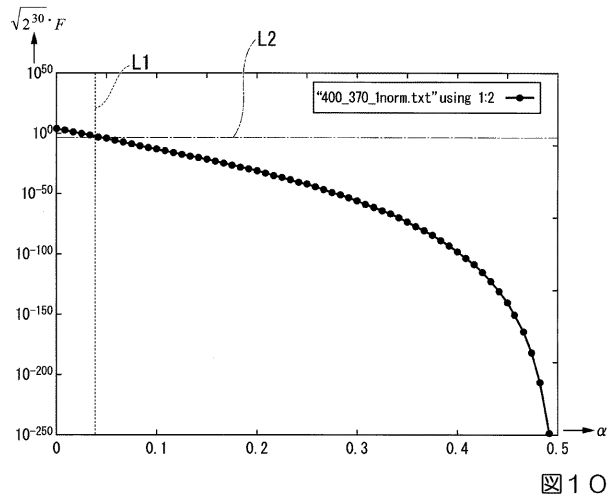


図8

【 図 9 】



【 図 10 】



【 図 11 】

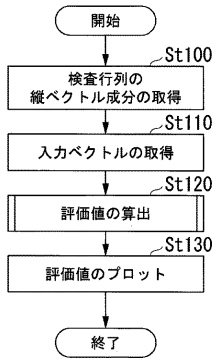


図 11

【 図 12 】

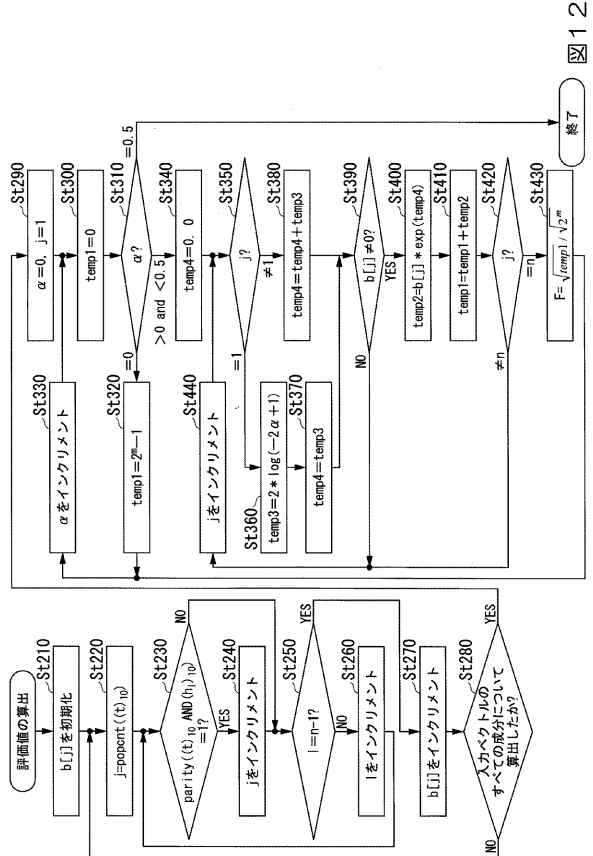


図 12

【図13】

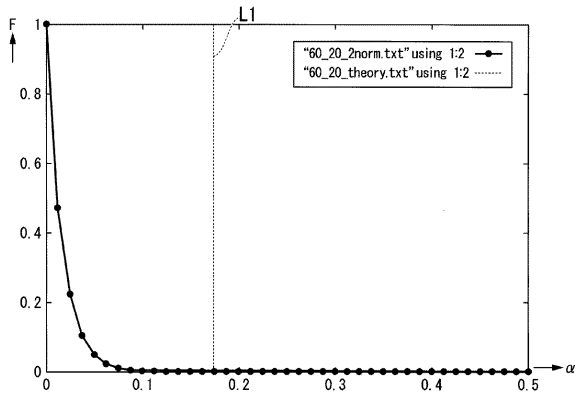


図13

【図14】

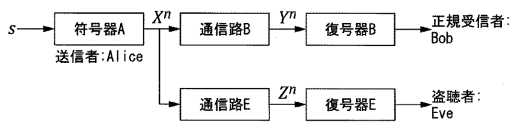


図14

【図15】

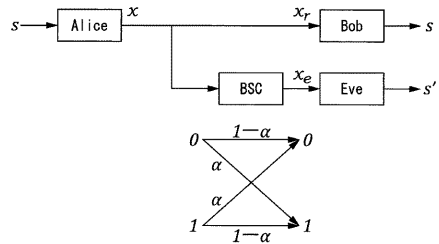


図15

【図16】

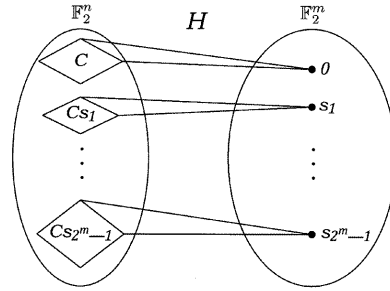


図16

【図17】

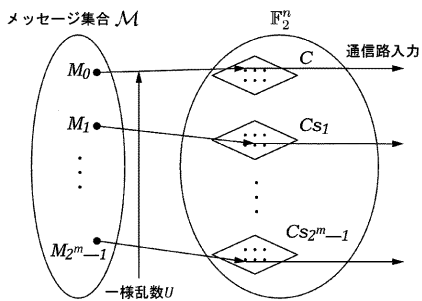


図17

【図19】

インデックス	乱数レート: $R_0 = k/n$	k	n	$m = n - k$
1	0.5	5	10	5
2		10	20	10
3		15	30	15
4		20	40	20
5		25	50	25
6		30	60	30
⋮		⋮	⋮	⋮
i		5i	10i	5i

図19

【図18】

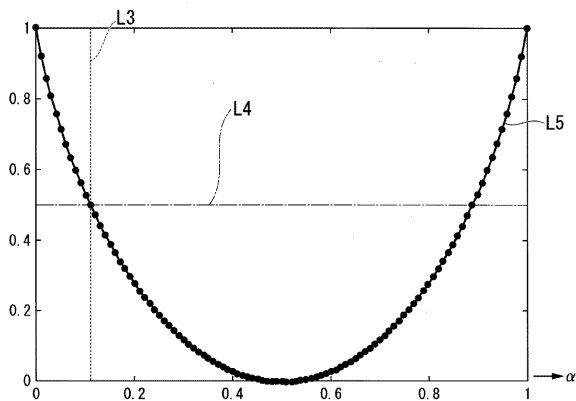


図18